



L B 1

Detalle de la estratificación (So) y la esquistosidad de la 1^a fase (S_1) en los materiales del C.E.G. (PC_2)



LB 10

Detalle de cuarcitas (O₃₁)



LB 11

Panorámica de la Sierra de Santiago.

- 1.- Cuarcitas (O_{12}). (1^{er} resalte topográfico)
- 2.- Cuarcitas y areniscas cuarcíticas (O_{21-22}) (2º resalte)
- 3.- Pizarras con intercalaciones areniscosas (Os_{21-22})
- 4.- Cuarcitas (O_{31}) (3^{er} resalte)



LB 12

Panorámica de la Sierra de Santiago

- 1.- C.E.G. (PC_2)
- 2.- Cuarcitas (O_{12})
- 3.- Cuarcitas y areniscas cuarcíticas (O_{21-22})
- 4.- Pizarras con intercalaciones areniscosas (Os_{21-22})
- 5.- Cuarcitas (O_{31}).

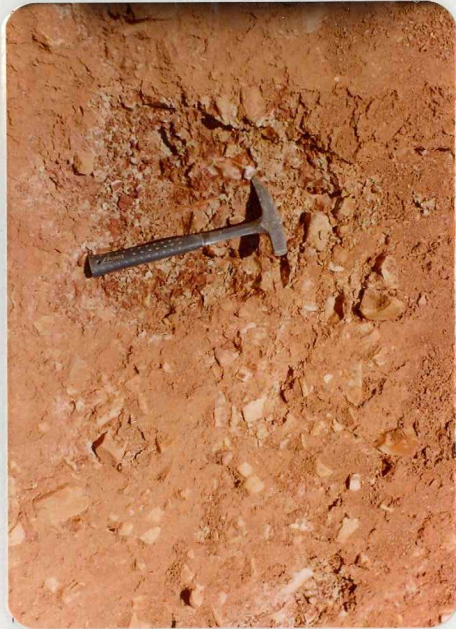


LB 13

Vista parcial de los derrumbes de ladera (QL) existente en toda la Sierra de Santiago

LB 14

Detalle de la foto anterior.





LB 15

Vista parcial de uno de los diques diabásicos (ϵ) existentes en la banda E de la hoja.



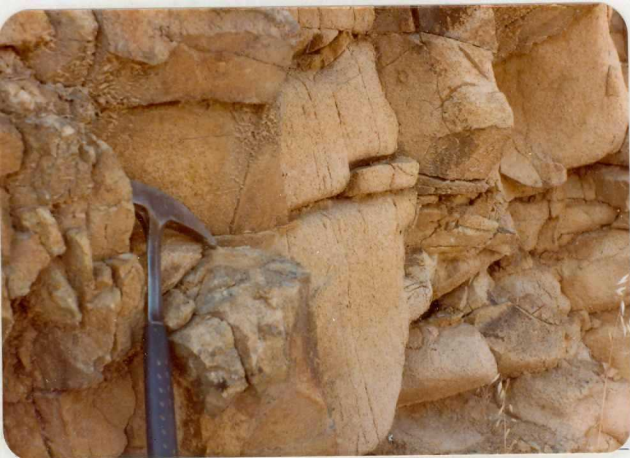
LB16

Vista parcial del contacto entre un dique diabásico (Σ)
y pizarras y esquistos del C.E.G. (PC_2)



LB 17

Vista parcial del dique de pórfido (PO) existente en la
c.c. Membrío-Alcántara.



LB18

Detalle del mismo dique.



LB 19

Vista parcial de pliegue sárdico en materiales del C.E.G., tipo "mullion" existente en el Km. 10'9 de la c.c. Membrío-Alcántara.



LB2

Detalle de pizarras detríticas de tonos rojizos del C.E.G. en la zona de contacto con las cuarcitas ordovícicas 0_{12} suprayacentes.



LB 20

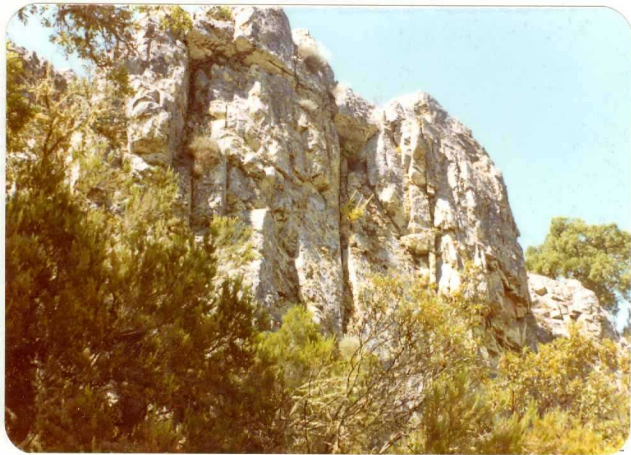
Detalle de la foto
anterior.



LB 3

Panorámica de la ladera de la Sierra Piejuntilla

- 1.- Grauvacas, pizarras y - esquistos (PC_2).
- 2.- Cuarcita armoricana (O_{12})
- 3.- Derrubios de ladera (QL)



LB 4

Vista parcial de la cuarcita armoricana en la
S. de Santiago (O_{12}).



LB 5

Detalles de la cuarcita de la foto anterior.



LB 6

Detalle de un nivel cuarcítico de la unidad cartográfica
(Op₂₁₋₂₂)



LB 7

Panorámica de la ladera sur de la Sierra de Santiago

- 1.- Cuarcita armoricana (O_{12})
- 2.- Pizarras con intercalaciones cuarcíticas y areniscosas (Op_{21-22})
- 3.- Cuarcitas y areniscas cuarcíticas (O_{21-22})



LB 8

Vista parcial de pizarras de la unidad cartográfica
(Os₂₁₋₂₂)



LB 9

Detalle de pizarras del techo de la formación
(Os₂₁₋₂₂)